

Optical Cohorence Tomography (OCT)

Serra KARAÇORLU*

Optical cohorence tomography (OCT) retina ve optik sinir hastalıklarının erken tanısına yönelik retina anatomisinin yüksek rezolüsyonlu enine kesitlerini elde etmek için geliştirilmiş yeni bir görüntüleme tekniğidir. Retinanın iki boyutlu görüntülerini oluşturmaktan ve yaklaşık $10\mu\text{m}$ 'lık rezolüsyon ile retina kalınlığını ölçmektedir. Mevcut diğer teknikler arka segmentin görüntülenmesinde yeterli derinlik rezolüsyonuna sahip değildir. B-scan ultrasonda görüntü rezolüsyonu $150\mu\text{m}$ 'e kadar gereklesirken bu değer scanning laser oftalmoskopta $300\mu\text{m}$ 'dir. Ultrasonik biomikroskopide ise görüntü rezolüsyonu $20\mu\text{m}$ 'dir, ancak penetrasyon derinliği $4\text{mm}'ye$ sınırlı olduğundan arka kutbun incelenmesi mümkün olmamaktadır^{1,2,3}.

TEKNOLOJİ

OCT'nin prensipleri B-scan ultrasona benzer, ancak burada akustik yansımaların ölçülmesi yerine gözdeki çeşitli yapılardan gelen ışık dalgaları kullanılmaktadır. Farklı derinlik ve optik özellikteki retina yapılarından yansıyan ışığın zaman içindeki geçikmeleri bir "Michelson İnterferometre" ile ölçülmektedir.

İşık kaynağı olarak bir diod laser kullanılmakta ve $200\mu\text{W}$ gücünde ve 830nm

dalgı boyunda elde edilen ışınlar fundus için emniyet sınırları içerisinde kalmaktadır. İnterferometre bu kaynaktan gelen ışınları bir referans aynasına diğer göze yönelen iki kısma ayırr. Gözden geri gelen ışınlar retina yapılarının kalınlık ve uzaklığını hakkında bilgiler içeren çok sayıda yansımadan oluşmuştur. Referans ışını ise bilinen bir pozisyondaki bir aynadan yansımaktadır. Bu iki ışın bir detektörde birleşir ve oluşturukları mesafeler ışık kaynağının kohorens uzunluğu içerisinde birbirine uygunluk gösterdiğinde干涉ans sinyali ortaya çıkar. İşık kaynağının kısa kohorens uzunluğu OCT görüntüleme sisteminin ideal longitudinal rezolüsyonunu sağlamaktadır. Bu rezolüsyon deneyel olarak havada $14\mu\text{m}$ olarak tanımlanmıştır ve hava ile dokular arasındaki farklı refraktif indeks gözününe alındığında retina için $10\mu\text{m}$ 'lik bir rezolüsyona işaret eder.

Sistem standart bir slitlamp biomikroskopa uyarlanmıştır. Cihaz içindeki +78 D'lik bir lens sayesinde gelen ışınlar retina üzerinde odaklanır. İncelenen göz ya cihaz içindeki bir ışığa baktırılarak sabitleştirilir veya bu gözde görme çok düşükse diğer göz dışarıdaki bir ışığa yönlendirilir. Taranan retina alanı aynı anda bir kızılıötesi videokamera ile izlenebilir.

Retinadaki değişik yapıların özellikleri, farklı uzaklıklı dokulardan yansıyan ışık za-

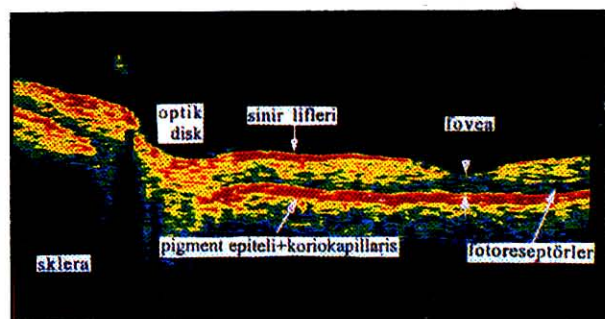
* Doç.Dr., İstanbul Retina-Maküla-Vitreus Konsültanları.

manının ölçülmesiyle tanımlanır. Böylece uzaklığı göre optik yansıtıcılığın tek boyutlu A-mod profili elde edilir. Retinanın iki boyutlu tomografik görüntüsü ise B-scan ultra-sona benzer şekilde oluşturulur. Retinanın enine taranması sırasında elde edilen çok sayıda A-mod görüntü birleştirilir ve her bir OCT tomografi yaklaşık 25 sn elde edilen 100 kadar A-mod taramadan oluşur. Elde edilen OCT görüntülerinde maviden siyaha kadar olan koyu renkler düşük optik yansıtıcılığı temsil ederken kırmızı ve beyaz gibi parlak renkler yüksek optik yansıtıcılığa işaret etmektedir.

Bu teknik ile prob göze temas etmemekte ve hastaya çok az rahatsızlık verilmektedir. Genellikle pupillanın genişletilmesi daha başarılı sonuçlar vermektedir. Kısa kohorent ışık sayesinde diğer görüntüleme metodlarına göre çok daha yüksek bir rezolüsyon sağlanmaktadır. Ancak vitreus hemorajisi veya kornea ödemi gibi ortam opasiteleri göze gelen ve geri yansıyan ışığın azalmasına yol açmaktadır^{1,4,5,6}.

NORMAL FUNDUS GÖRÜNTÜSÜ

Sağlıklı bir maküla ve optik sinirden elde edilen görüntü Şekil-1'de izlenmektedir. Fovea karakteristik çukurluğu ile kolayca farkedilir. Normal bir gözde santral foveanın kalınlığı $147 \pm 17 \mu\text{m}$ 'dir. Fovea çukurlüğünün önünde arka hyaloid mavi renkli düşük yansıtıcılıkta kısmen ayırt edilebilir. Retinanın iç yüzeyindeki yüksek yansıtıcılıkta kırmızı renkli tabaka sinir lifleri tabakasını temsil eder. Retinanın orta tabakaları orta derecede yansıtıcılığa sahiptir. Bunun arkasındaki koyu renkli tabaka ise fotoreseptör dış segmentlerine aittir. Hemen gerisindeki yüksek yansıtıcılıkta ve yaklaşık 70 μm kalınlığındaki



Şekil 1
Normal fundusun OCT görüntüsü

kırmızı renkli tabaka retina pigment epiteli ve koriokapillarise işaret eder. Işığın retinadan geçerken uğradığı zayıflamalar nedeniyle derin koroid ve skleradan gelen yansımalar azdır ve burası koyu renkli görülür. Aynı resimde optik diske ait çukurluk da farkedilmektedir. Normal anatominde bilindiği üzere sinir liflerinin kalınlığı optik diske yaklaştıkça artmaktadır. Disk bölgesindeki sinir lifleri tabakasının azalmış yansıtıcılığının nedeni bunların OCT ışığına göre eğimli bir yön almalarıdır. Retina kan damarları tomografta altındaki dış retina tabakalarında gölgelenmeye sebep olarak ayırt edilebilir.

SAYISAL GÖRÜNTÜ İŞLEM TEKNİKLERİ

Bu sistemde tomografların çok kısa sürede elde edilmesi sayesinde hastanın gözünü oynatmasının yol açabileceği etkiler ortadan kalkmıştır. Çeşitli tarama şekilleriyle fundus anatomisini elde etmek mümkündür. Sistem otomatik olarak retina ve sinir lifleri tabakasının kalınlmasını ölçmektedir. Fovea ve optik diskler içeren papillomaküler eksen boyunca yapılan taramalarla anatomi özellikleri içeren tomograflar elde edilebilir. Makümanın incelenmesinde farklı yerlerden geçen seri şekilde sagittal kesitler oldukça yararlıdır. Foveadan geçen radyal taramaların kul-

lanılmasıyla retina kalınlık haritası yapılabilir. Optik disk, peripapiler bölge ve retina sinir lifleri tabakasının görüntülenmesinde 2 tip tarama kullanılmaktadır. Optik disk merkezinden geçen radyal kesitler anatomik özellikleri gösterir. Optik sinir etrafında kon-sanktrik halka şeklindeki taramalar ise papilla çevresinde sinir lifleri kalınlık haritası oluşturur.

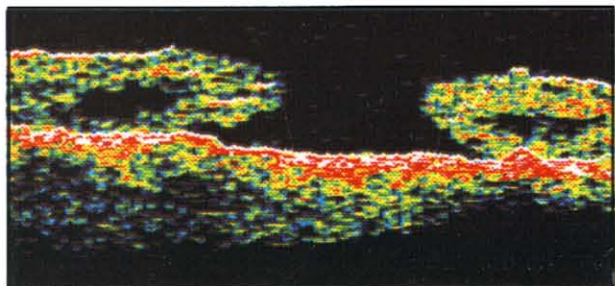
ÖN SEGMENTİN GÖRÜNTÜLENMESİ

OCT ile kornea kalınlığını ölçmek ve kornea epители de dahil olmak üzere yüzey profilini görüntülemek mümkündür. Ayrıca ön kamara derinliği, ön kamara açısı ve iris kalınlığı ölçülebilir. Bir çalışmada dana gözünde soğuk ile oluşturulmuş geri dönüşümlü katartik değişiklikleri görüntülemek mümkün olmuştur. Bu teknoloji ile nonkontakt biometri ve intraoküler tümörlerin tanı ve takibi yapılabılır⁷.

MAKULA HASTALIKLARINDA OCT

Makula Delikleri

OCT ile elde edilen bilgiler makula deliği patogenezinin anlaşılmasını kolaylaştırır. Tam kalınlıkta makula deliklerinin kısmi kalınlıkta delik, yalancı delik ve makula kistlerinden ayırt edilmesinde OCT'nin enine kesitleri oldukça yararlıdır. Bu metodla makula delikleri



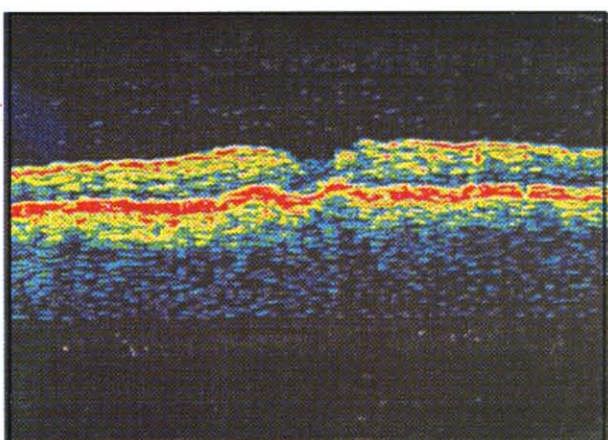
Şekil 2.

Evre 4 makula deliğinin OCT görüntüsü

sınıflandırılabilir, delik çapı ölçüerek çevredeki makula ödemi değerlendirilebilir (Şekil-2) Evre 1 deliklerin veya foveaya tutunan kısmi arka vitreus dekolmanı olan gözlerin tanımlanması idyopatik unilateral makula deliği olan hastaların diğer gözünde delik olma riskinin belirlenmesinde yardımcıdır. Bir çalışmada diğer gözlerin %21'inde vitreofoveal patoloji tespit edilmiştir. Vitreofoveal anomalilerin mevcudiyeti klinik seyrin tanımlanmasında ve cerrahi adaylarının belirlenmesinde yardımcıdır. Ayrıca makula deliği cerrahisinden sonra anatomik sonuçların değerlendirilmesinde de yararlıdır⁸.

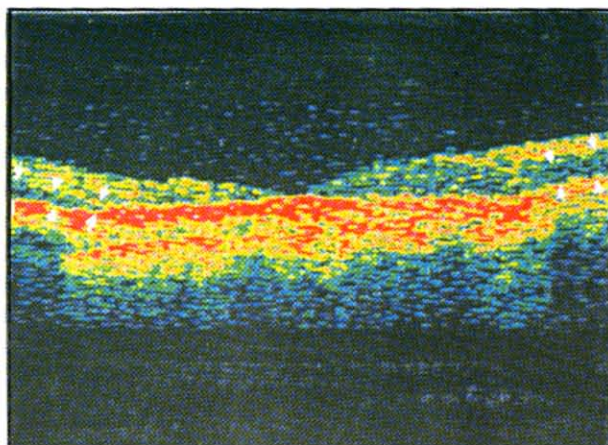
Yaşa-bağılı Makula Dejeneransı

OCT noneksudatif ve eksudatif yaşa-bağılı makula dejeneransının farklı lezyonlarının ayırt edilmesinde yardımcı olabilir. Drusen pigment epitheline işaret eden yüksek yansıtıcılıktaki kırmızı tabakada fokal elevasyonlara yol açmakta, geografik atrofide ise ışığın ince retina tabakalarından kolayca geçmesi nedeniyle koroidden geri yansıma artmaktadır (Şekil-3a,b). Hiperpigmentasyon bölgelerinde ise pigment epithelden yansıma artarken gerideki koroidde hafifçe gölgelenme



Resim 3a

Pigment epithelinde fokal elevasyonlar şeklinde beliren drusen



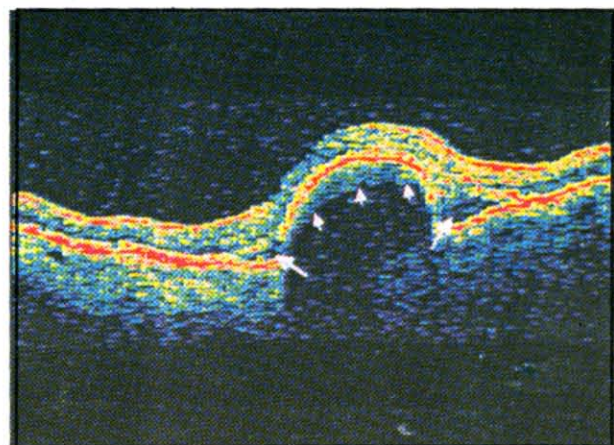
Resim3b

Sensoryel retina atrofisi nedeniyle ışık penetrasyonunun ve koroid yansıtıcılığının arttığı geografik atrofi

olmaktadır.

Retina pigment epitelinin seröz dekolmanları nörosensoryel retinanın seröz dekolmanlarından pigment epiteline ait yüksek yansıtıcılıktaki tabakanın elevasyonuyla kolayca ayırt edilebilir. Subretinal sıvı pigment epiteli ve sensoryel retina arasında yansıtıcılığı olmayan bir boşluk olarak farkedilebilir. Hemorajik pigment epiteli dekolmanında ise debole pigment epitelinin hemen altındaki orta derecedeki yansımalar hemoraji nedeniyle penetrasyon tam olmamasına bağlıdır (Şekil-3c,d).

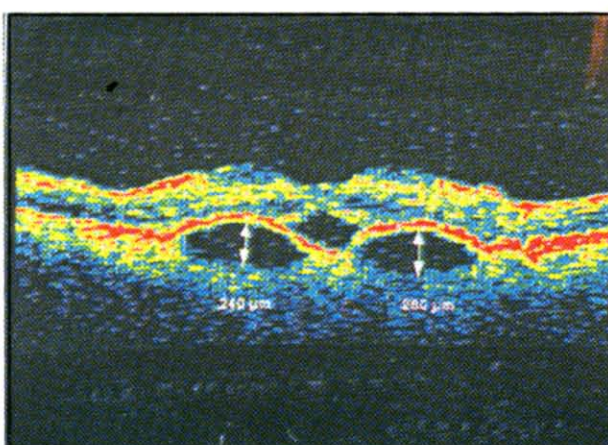
Koroid neovaskülarizasyonu pigment epi-



Resim3d

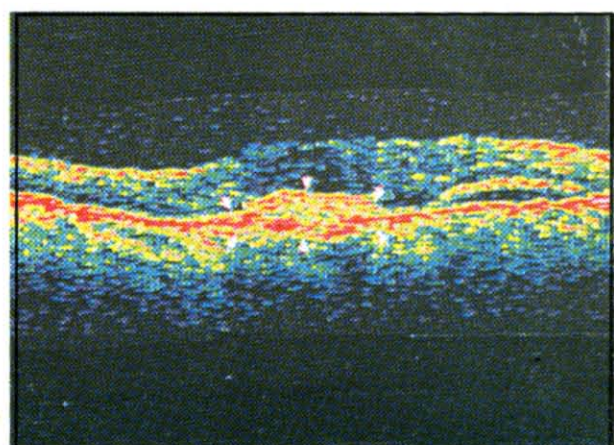
Hemorajik pigment epiteli dekolmani (küçük oklar hemoraji nedeniyle ışık penetrasyonunun tam olmadığı bölgeye işaret etmektedir)

teli ve koriokapillarise işaret eden tabakanın kalınlaşması ve parçalanmasıyla ayırt edilir. Sınırları belirgin klasik koroid neovaskülarizasyonunda bu yansıma fusiform bir kalınlaşma şeklindedir. Fibrovasküler pigment epiteli dekolmanında debole pigment epiteli ve koroid arasında orta derecede bir geri yansıtıcılık, bunun üzerindeki pigment epitelinde elevasyon ve bunları ayıran belirgin bir bölge görülür. Sınırları belirgin olmayan gizli koroid neovaskülarizasyonunda artmış koroid yansıtıcılığının sınırları görülemez, üzerindeki sensoryel retinada ödem ve kistik değişiklikler izlenebilir. Bazı gizli koroid neovaskülarizas-



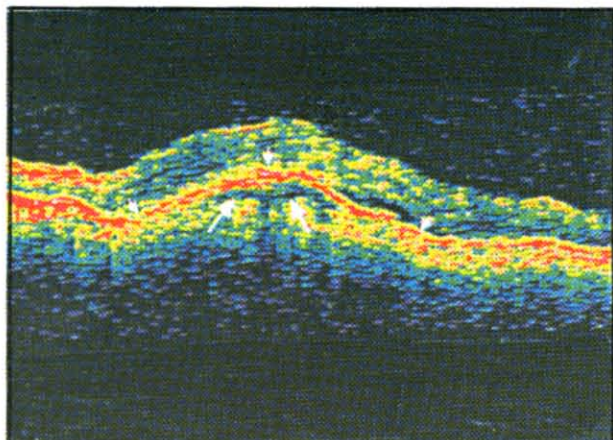
Resim3c

İki seröz pigment epiteli dekolmani ve üzerinde sensoryel retinanın seröz dekolmanı

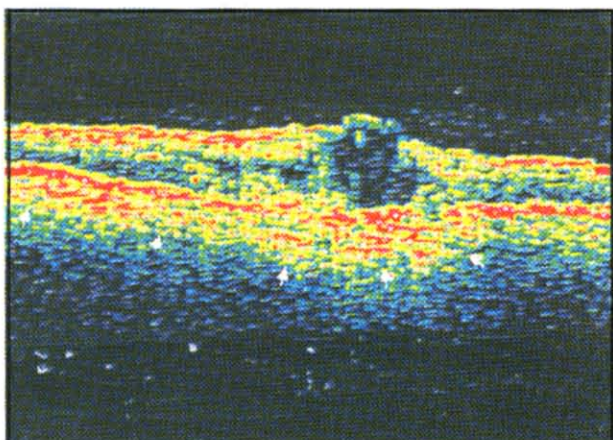


Resim4a

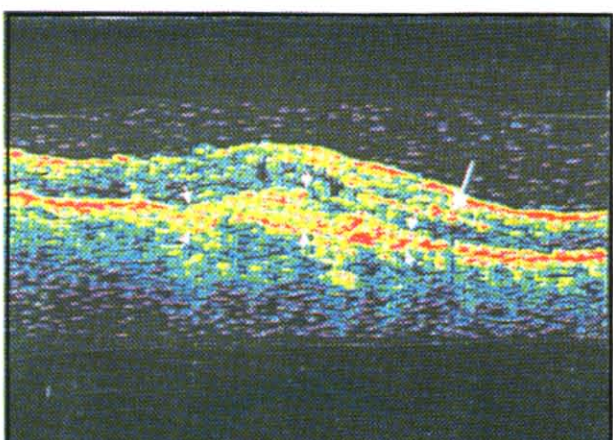
Sınırları belirgin klasik koroid neovaskülarizasyonu

**Resim4b**

Fibrovasküler pigment epiteli dekolmanı (orta derece yansıtıcılıkta bir bölge üzerinde pigment epitelinin elevasyonu görülmekte)

**Resim4c**

Sınırları belirgin olmayan gizli koroid neovaskülarizasyonu (oklar artmış koroid yansıtıcılığına işaret etmekte)

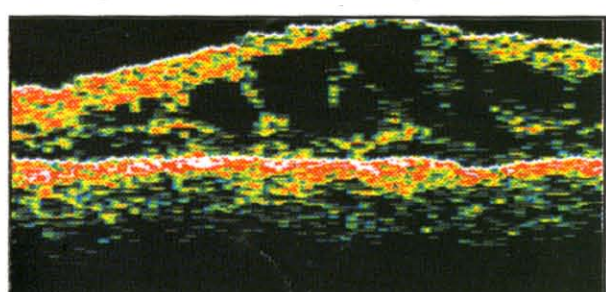
**Resim4d**

Pigment epiteli ve koriokapillariste sınırları belirgin kalınlaşma şeklinde sınırları belirgin gizli koroid neovaskülarizasyonu

yonunda ise bu kalınlaşma daha belirgindir (Şekil-4a,b,c,d)⁹.

Makula Ödemi

Diabet, ven tikanıkları, üveit, epiretinal membran ve katarakt ekstraksiyonundan sonra görülen makula ödemindeki OCT görünümü etyolojiye ait histopatolojik karakteristiklere uymaktadır. Yansıtıcılığın azaldığı ve retinanın kalınlaştiği intraretinal alanlar olarak izlenir. Nörosensoryel retinadaki yuvarlak, optik olarak boş bölgeler kistik makula ödeminde görülür (Şekil-5). Retina distorsiyonu ise retina

**Resim5**

Kistoid makula ödemi

konturunun enine kesitlerinin düzensizleşmesi ile tanımlanabilir.

Sinir lifleri ile pigment epiteli+koroikapillaris tabakalarına ait iki yüksek yansıtıcılıkta sınırları belirgin kırmızı tabaka arasından retina kalınlığının ölçülmesi oldukça kolaydır. OCT retina kalınlaşmasındaki küçük değişikliklere slitlamp biomikroskopiden daha hassastır. Ayrıca diabetik retinopatide laser tedavisinden sonra makula ödeminin gerilediği ve kalınlaşmanın azaldığı OCT'de kolayca gösterilebilir¹⁰.

Santral Seröz Korioretinopati

OCT santral seröz korioretinopatideki seröz retina dekolmanın miktarını objektif olarak belirleyebilir ve slitlamp biomikroskopide göz-

den kaçan dekolmanları tespit edebilir. Sensoryel retina ve pigment epiteli arasında yansıtıcılığı azalmış bölge nörosensoryel retina dekolmanına işaret eder. Subretinal sıvının gerilediği belirli aralıklarla yapılan tetkiklerle gösterilebilir¹¹.

Epiretinal Membranlar

Epiretinal membranlar OCT'de retina yüzeyinde yüksek yansıtıcılıkta bir doku olarak görülür. Buradaki görüntülerine göre epi-retinal membranlar, fokal yapışma noktalarıyla retinadan kısmen ayrılan membranlar veya hiçbir ayrılma olmadan retinaya tümüyle yapışık membranlar olarak ikiye ayrılabilir. Tümüyle yapışık membranlar yalancı makula deliği ile birlightedir. Bazı tümüyle yapışık membranlar farkedilmeyebilir. OCT epi-retinal membran cerrahisinin preoperatif ve post-operatif değerlendirilmesinde yararlı olacak önemli anatominik bilgiler verir¹².

GLOKOMDA OCT

OCT ile optik sinir etrafında halka tarzında tarama yaparak retina sinir lifleri tabakasının kalınlığını objektif olarak ölçmek mümkündür. Bu ölçülen sinir lifleri tabakası kalınlığının optik sinirin fonksiyonel durum ile yüksek oranda ilişkili olduğu görme alanı ölçümleriyle tespit edilmiştir.

Bir çalışmada OCT'deki sinir lifleri kalınlığı ile görme alanı kayıpları arasındaki ilişkinin optik disk çukurluğu ve nöroretinal rim alanı ile görme alanı kayıpları arasındaki ilişkiden daha kuvvetli olduğu gösterilmiştir. Sinir lifleri tabakasının kalınlığı glokomatöz gözlerde özellikle alt kadранda normal gözlere nazaran daha incedir. Optik sinir çevresinde

konsantrik halka şeklindeki taramalarla sinir lifleri tabakasının kalınlığını topografik olarak görüntülemek mümkündür¹³.

DİĞER OPTİK SINİR HASTALIKLARINDA OCT

OCT ile akut veya kronik papilödem ile optik atrofide sinir lifleri kalınlığı ölçülebilir. Akut papilödemde disk öne doğru kabarmıştır. ve sinir liflerinin kalınlığı artmıştır. Kronik papilodem ve optik atrofide ise sinir lifleri incelmiştir.

Kongenital optik pit seröz makula dekolmanı veya skizis şeklinde makula ayırtmasına neden olabilir. Makula dekolmanında OCT görünümü optik olarak boş seröz sıvının üzerindeki sensoryel retinada elevasyon şeklindedir. Skiziste ise retinada ayrılma ve dış ve iç retinayı birleştiren dikey köprüler görülür¹⁴.

OCT günümüzde retina anatomsini in vivo olarak değerlendirmede en hassas araçtır. OCT'nin enine kesitleri çeşitli retina hastalıkları, glokom ve diğer optik sinir hastalıklarının tanısı ve izlenmesinde oldukça yararlıdır. Ayrıca 10µm'lik görüntü rezolusyonu ile objektif kalınlık ölçümleri sağlar. Bugün için OCT fundus fotoğrafisi ve anjiografisinin tamamlayıcı bir rol oynamaktadır. ancak bazı hastalıklarda potansiyal olarak bu testlerin yeri alabilir.

KAYNAKLAR

1. Huang d, Swanson EA, Lin CP, Schuman JS, Stinson WG, Chang W, Hee MR, Flotte T, Gregory K, Puliafito CA, Fujimoto JG. Optical cohorence tomography. Science 1991;254:1178-81.
2. Pavlin CJ, Harasewicz K, Sherar MD, Foster FS. Clinical use of ultrasound biomicroscopy. Ophthalmology 1991;98:287-95.
3. Bille JF, dreher AW, Zinser G. Scanning laser to-

- mography of living human eye. In Masters BR, ed. Noninvasive Diagnostic Techniques in Ophthalmology. New York: Springer-Verlag, 1990;chap.28.
4. Swanson EA, Izatt FA, Hee MR, Huang D, Lin CP, Schuman JS, Puliafito CA, Fujimoto JG. In vivo retinal imaging by optical coherence tomography. *Opt Lett* 1993; 18:1864-66.
 5. Swanson EA, Huang D, Hee MR, Fujimoto JG, Lin CP, Puliafito CA. High-speed optical coherence domain reflectometry. *Opt Lett* 1992;17:151-53.
 6. Hee MR, Huang D, Swanson EA, Fujimoto JG. Polarization sensitive low-coherence reflectometer for birefringence characterization and ranging. *J Opt Soc Am B* 1992;9:903-8.
 7. Izatt JA, Hee MR, Swanson EA, Huang D, Lin CP, Schuman JS, Puliafito CA, Fujimoto JG. Micronscale resolution imaging of the anterior eye in vivo with optical coherence tomography. *Arch Ophthalmol* 1994;112:1584-89.
 8. Hee MR, Puliafito CA, Wong C, Duker JS, Reichel E, Schuman JS, Swanson EA, Fujimoto JG. Optical coherence tomography of macular holes. *Ophthalmology* 1995; 102:748-56.
 9. Hee MR, Baumal CR, Puliafito CA, Duker JS, Reichel E, Wikins JR, Coker JG, Schuman JS, Swanson EA, Fujimoto JG. Optical coherence tomography of age-related macular degeneration and choroidal neovascularization. *Ophthalmolog* 1996;103:1260-70.
 10. Hee MR, Puliafito CA, Wong C, Duker JS, Reichel E, Rutledge BK, Schuman JS, Swanson EA, Fujimoto JG. Quantitative assessment of macular edema with optical coherence tomography. *Arch Ophthalmol* 1995;113:1019-29.
 11. Hee MR, Puliafito CA, Wong C, Duker JS, Reichel E, Rutledge BK, Schuman JS, Swanson EA, Fujimoto JG. Optical coherence tomography of central serous chorioretinopathy. *Am J Ophthalmol* 1995;120: 65-74.
 12. Wikins JR, Puliafito CA, Hee MR, Duker JS, Reichel E, Coker JG, Swanson EA, Schuman JS, Fujimoto JG. Characterization of epiretinal membranes using optical coherence tomography. *Ophthalmology* 1996; 103:2142-51.
 13. Schuman JS, Hee MR, Puliafito CA, Wong C, Pedut-Kloizman S, Lin CP, Hertzmark E, Izatt JA, Swanson EA, Fujimoto JG. Quantification of nerve fiber layer thickness in normal and glaucomatus eyes using optical coherence tomography:a pilot study. *Arch Ophthalmol* 1995;113:586-96.
 - 14-Rutledge BK, Pulafito CA, Duker JS, Hee MR. Optical coherence tomography of macular lesions associated with optic nerve head pits. *Ophthalmology* 1996;1047-53.